

FIG. 1

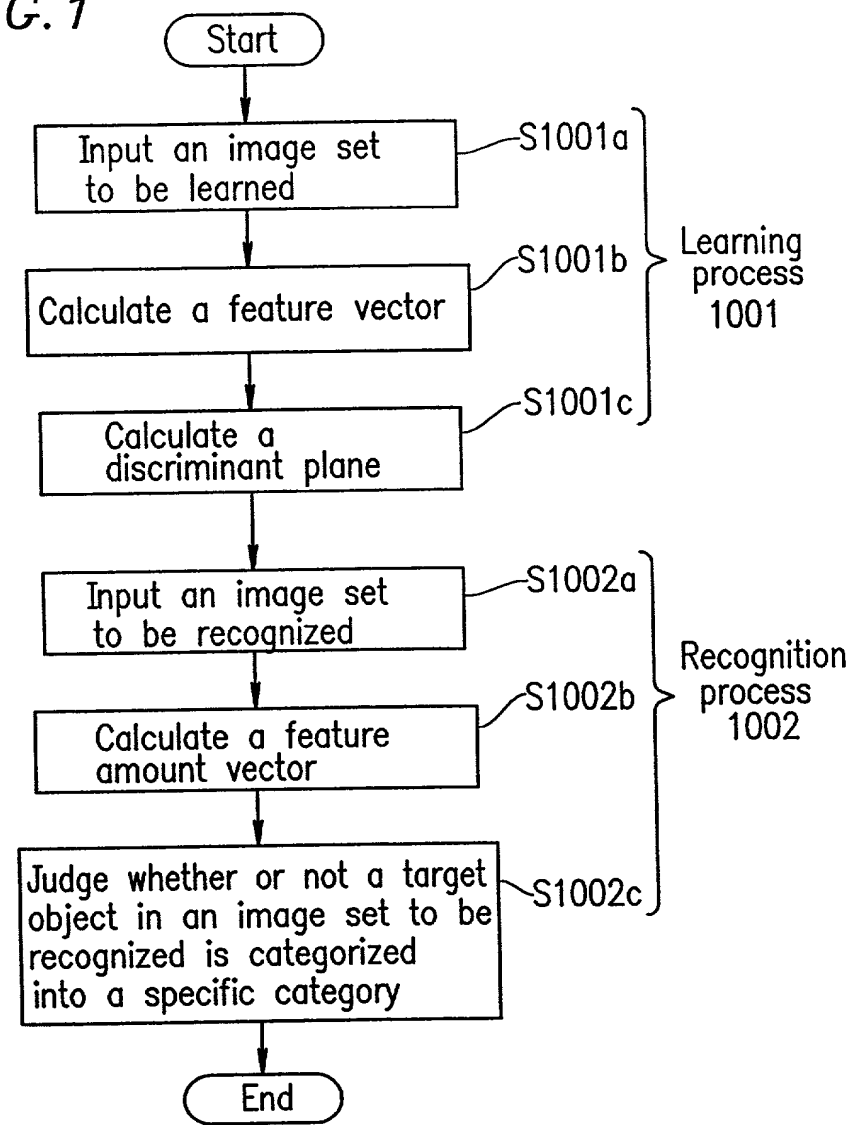


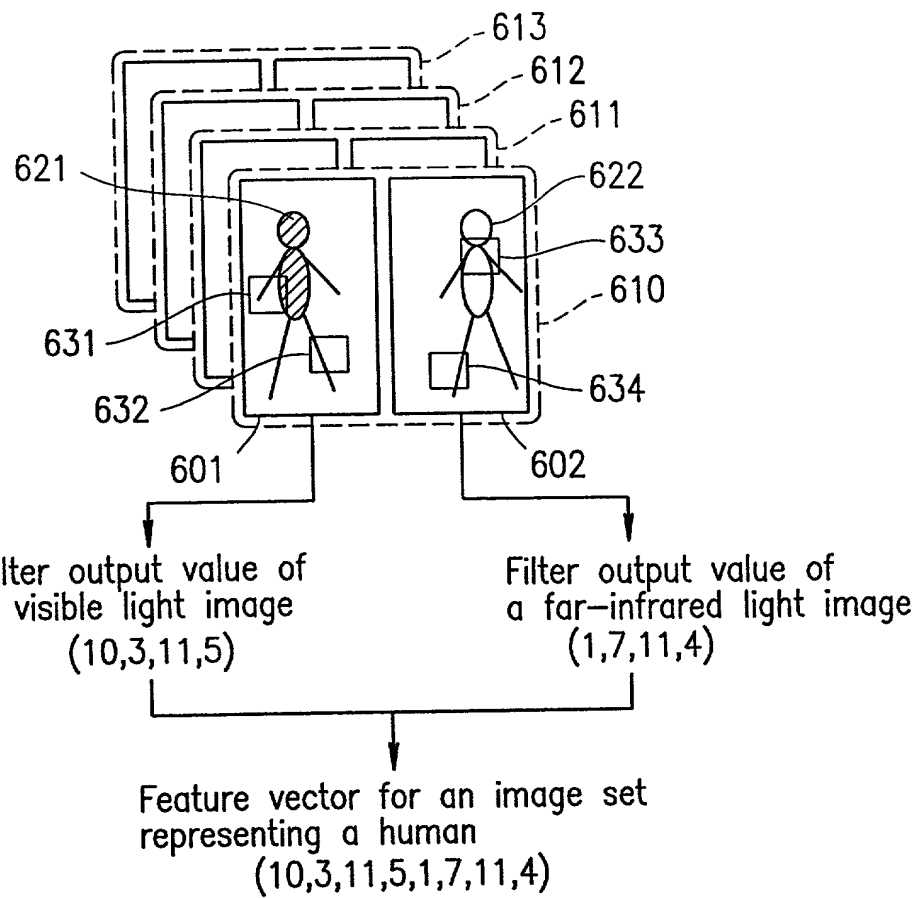
FIG. 2A

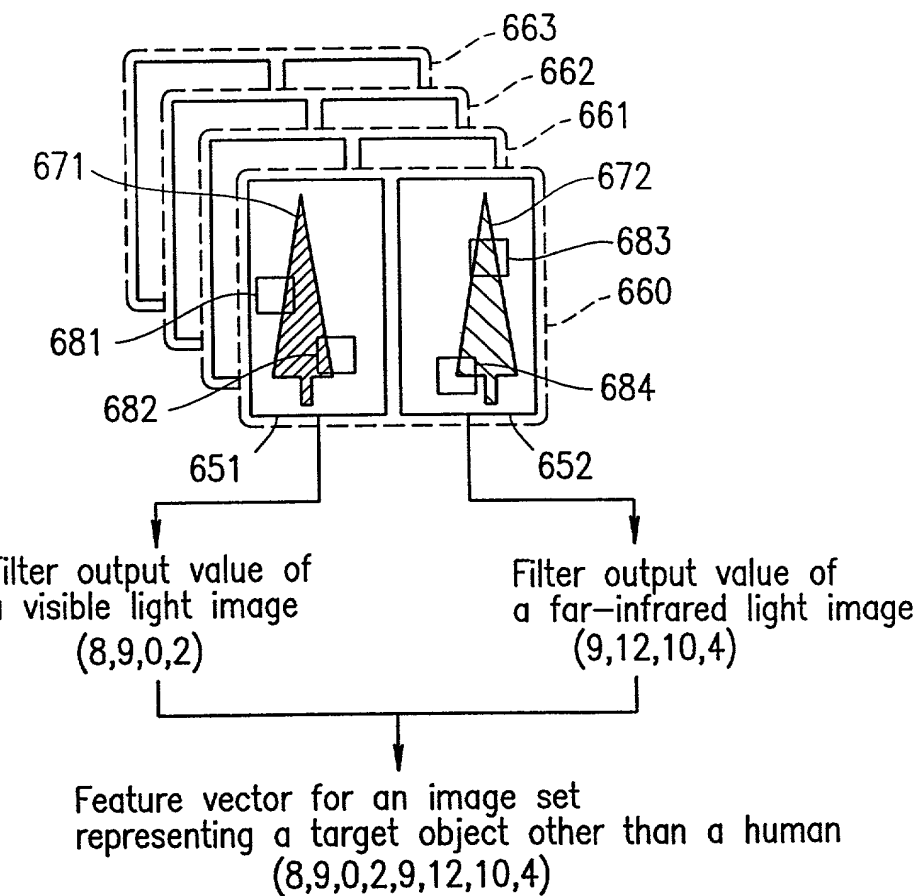
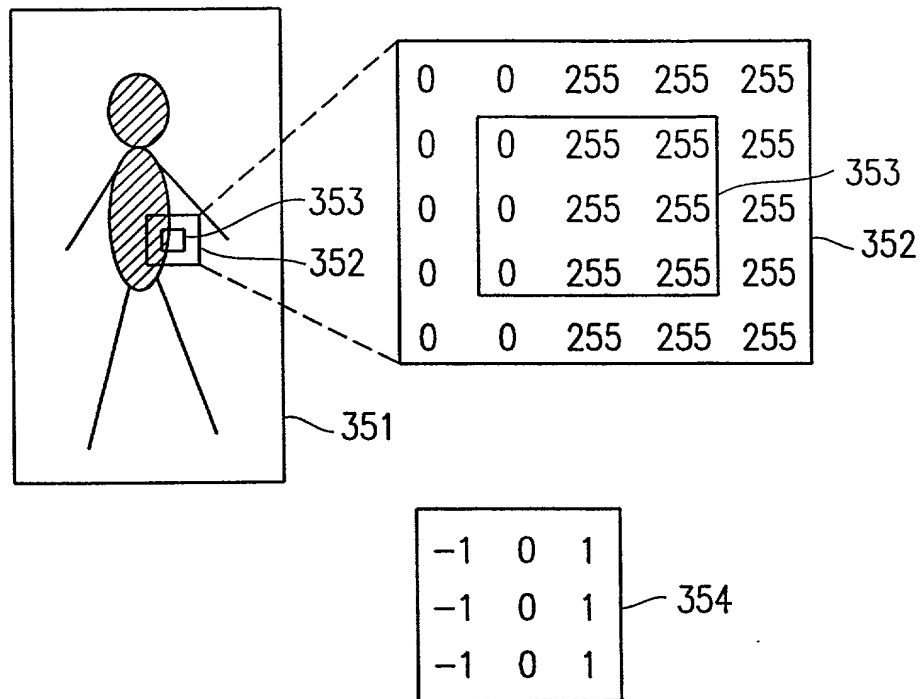
FIG. 2B

FIG. 3



Filter output value
 $= (-1) \cdot 0 + (-1) \cdot 0 + (-1) \cdot 0 + 0 \cdot 255 + 0 \cdot 255 + 0 \cdot 255$
 $+ 1 \cdot 255 + 1 \cdot 255 + 1 \cdot 255 = 765$

FIG.4

Feature dimension 2

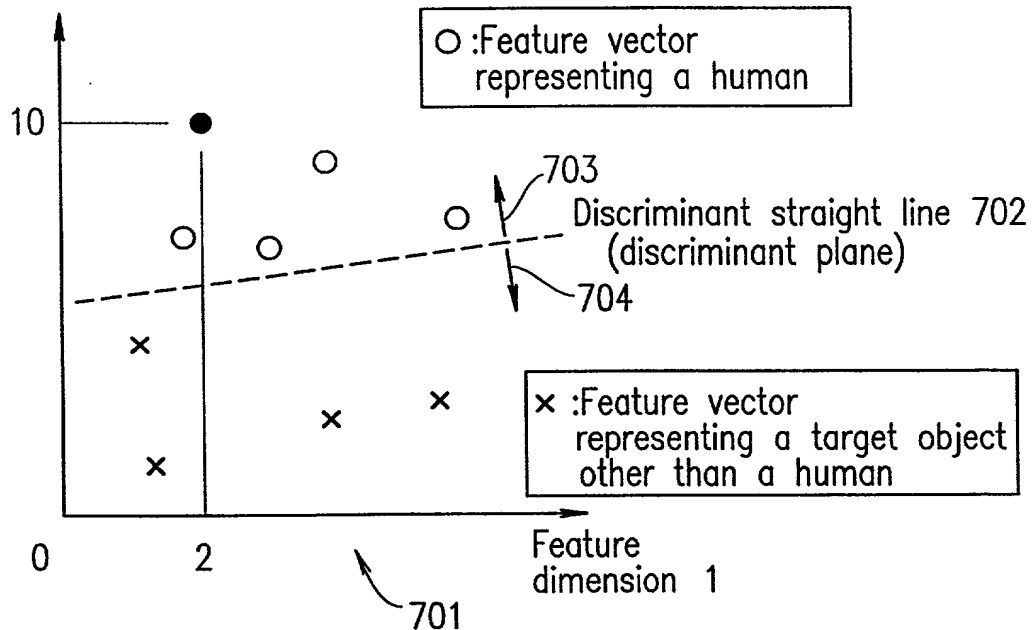


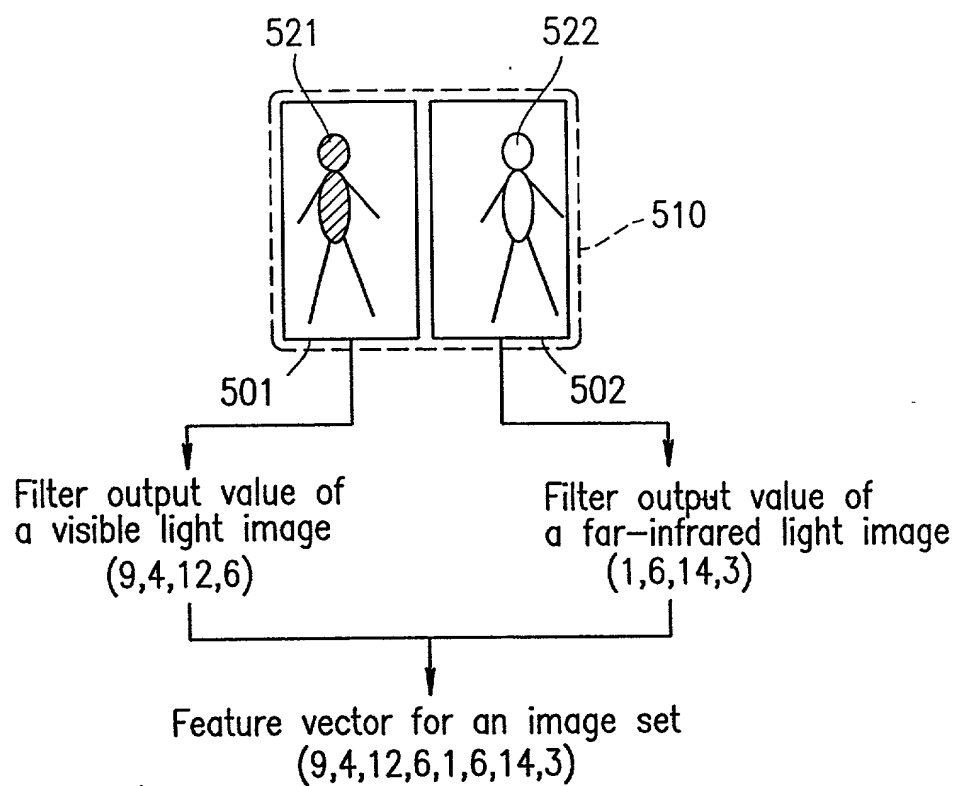
FIG. 5

FIG. 6

Object recognition
apparatus 1

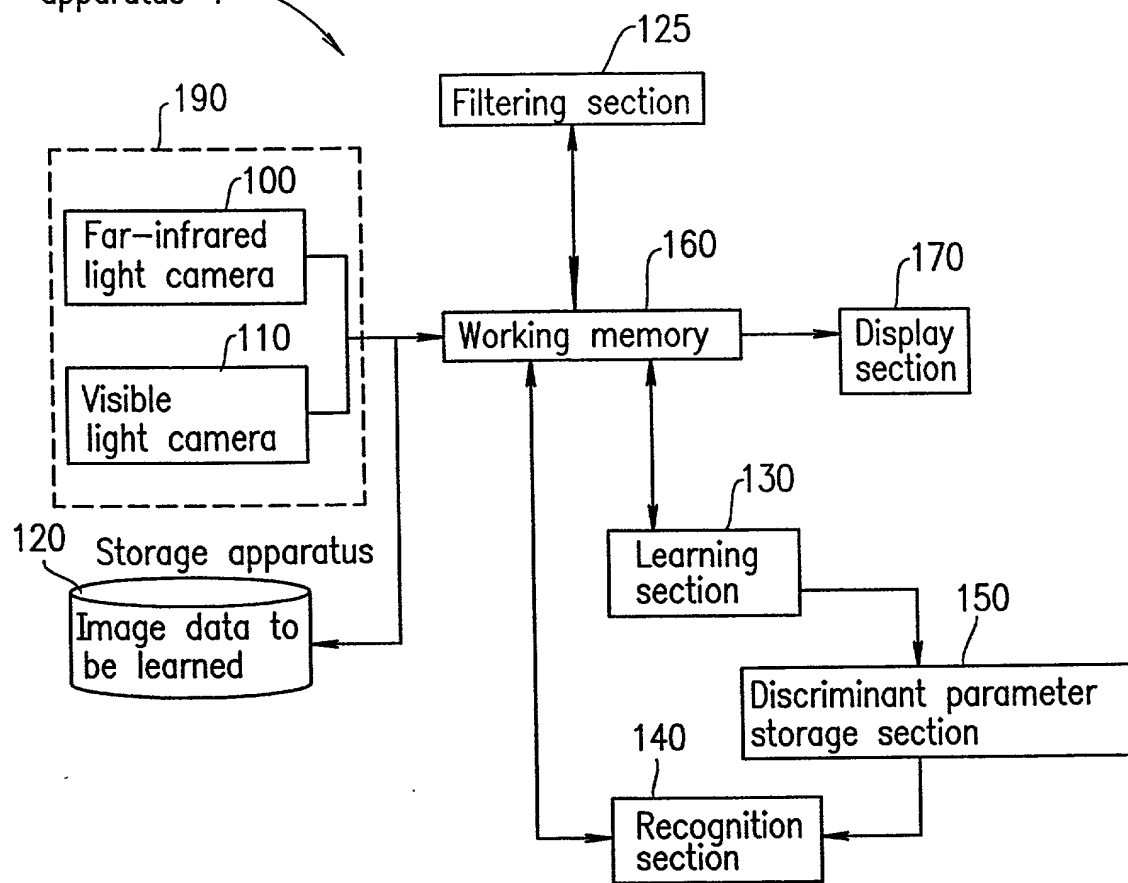
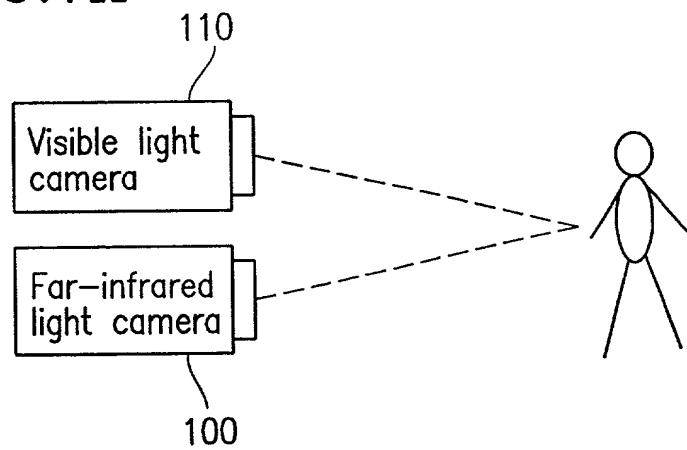
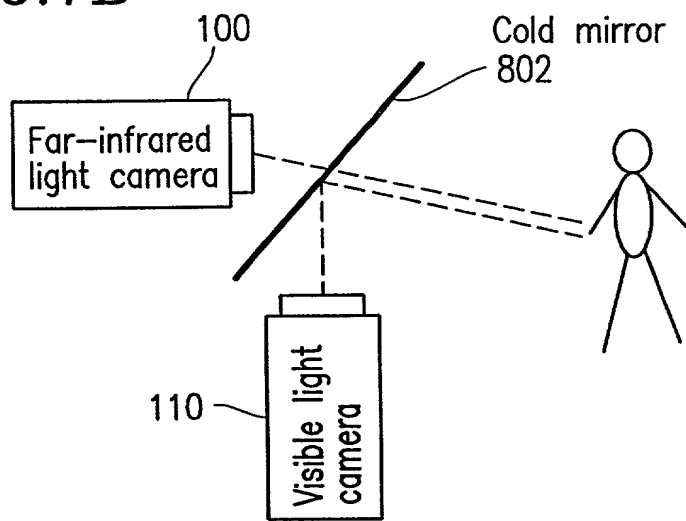
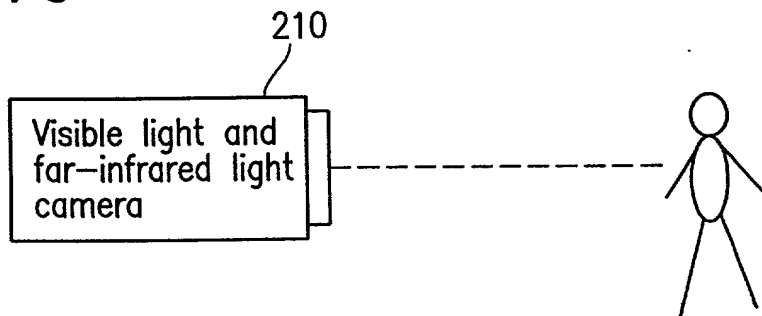


FIG. 7A***FIG. 7B******FIG. 7C***

9/23

FIG. 8A

Visible light image

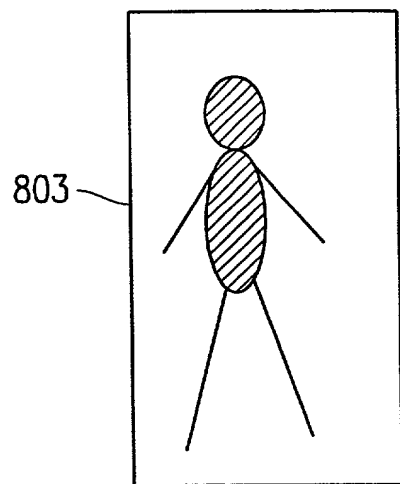


FIG. 8B

Far-infrared light image

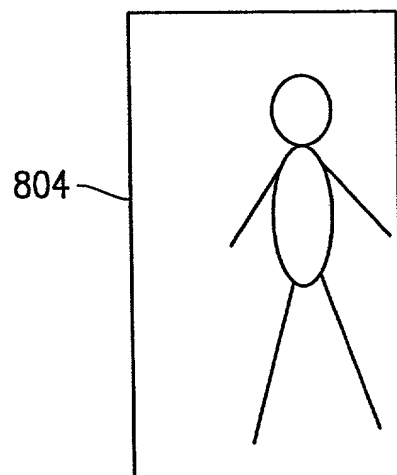


FIG. 9A

Visible light image

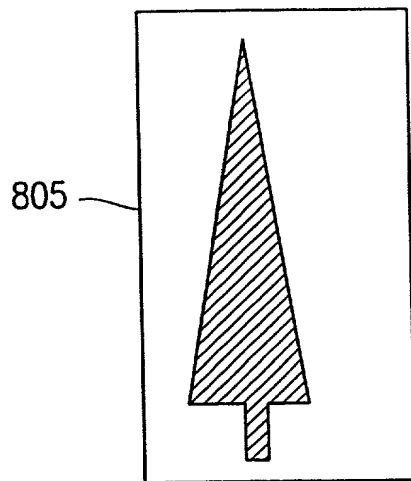


FIG. 9B

Far-infrared light image

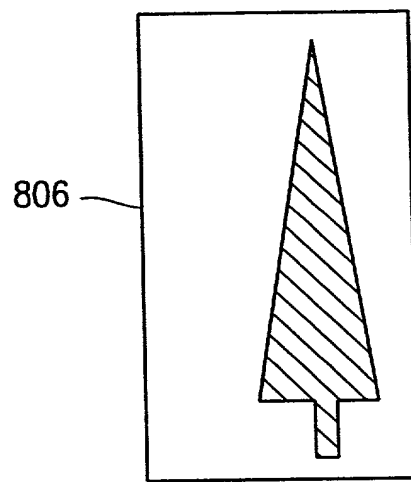


FIG. 10A

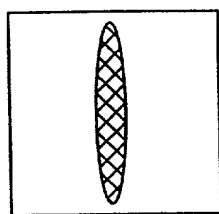


FIG. 10B

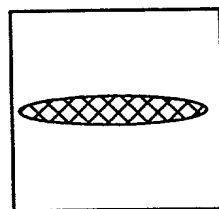


FIG. 10C

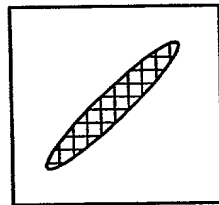


FIG. 10D

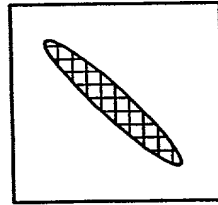


FIG. 11A

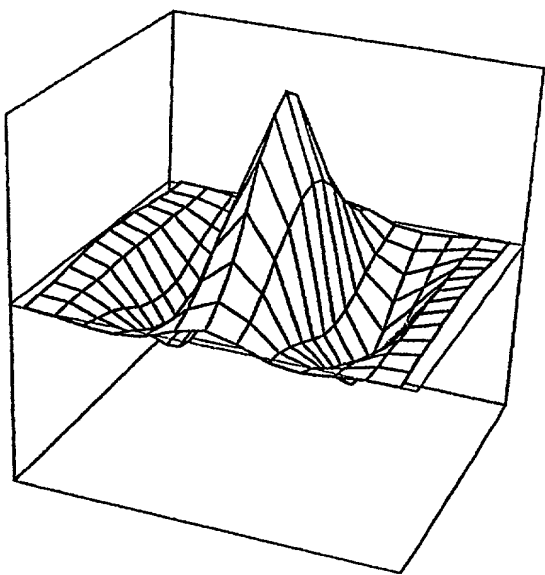


FIG. 11B

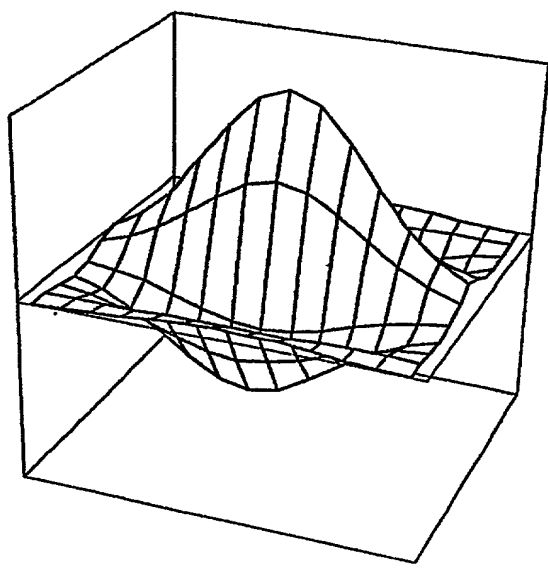


FIG. 11C

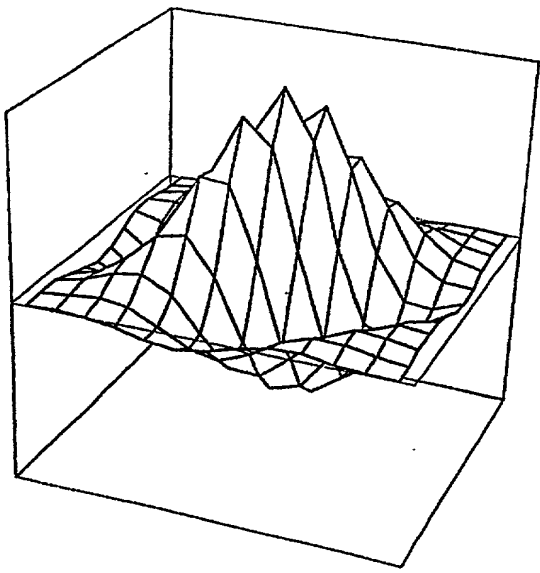


FIG. 11D

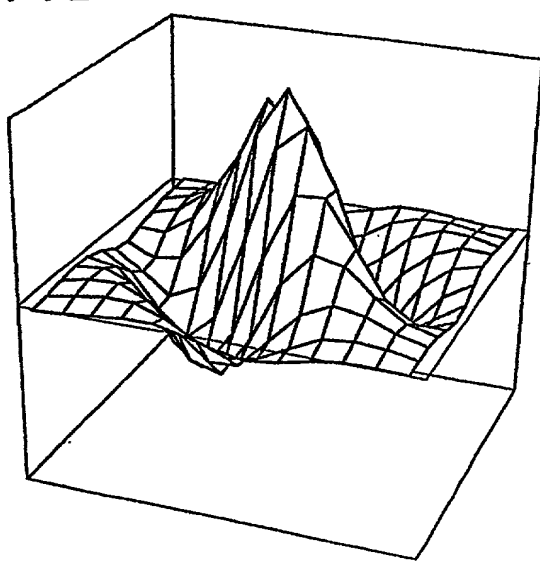


FIG. 12

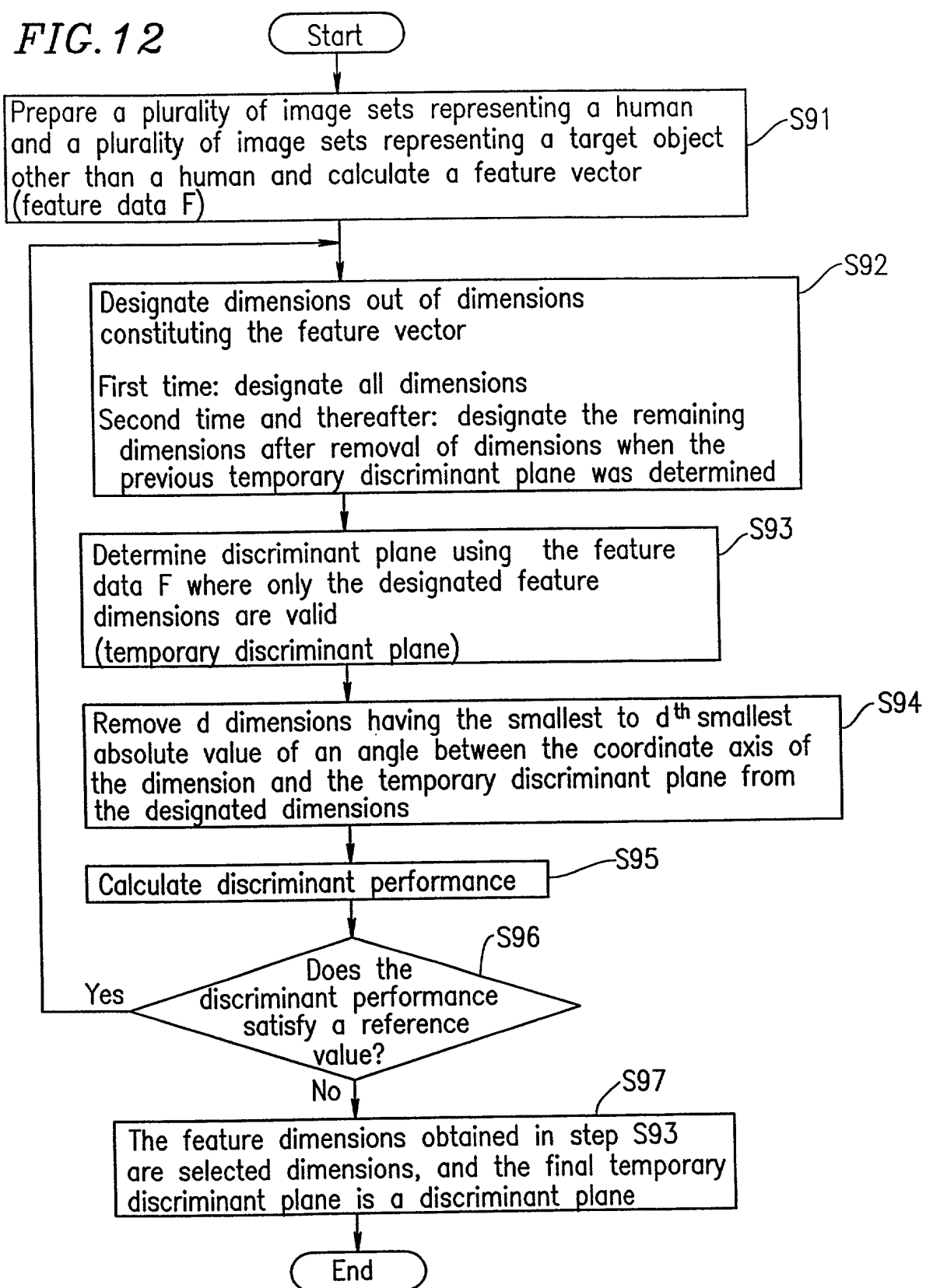


FIG. 13A

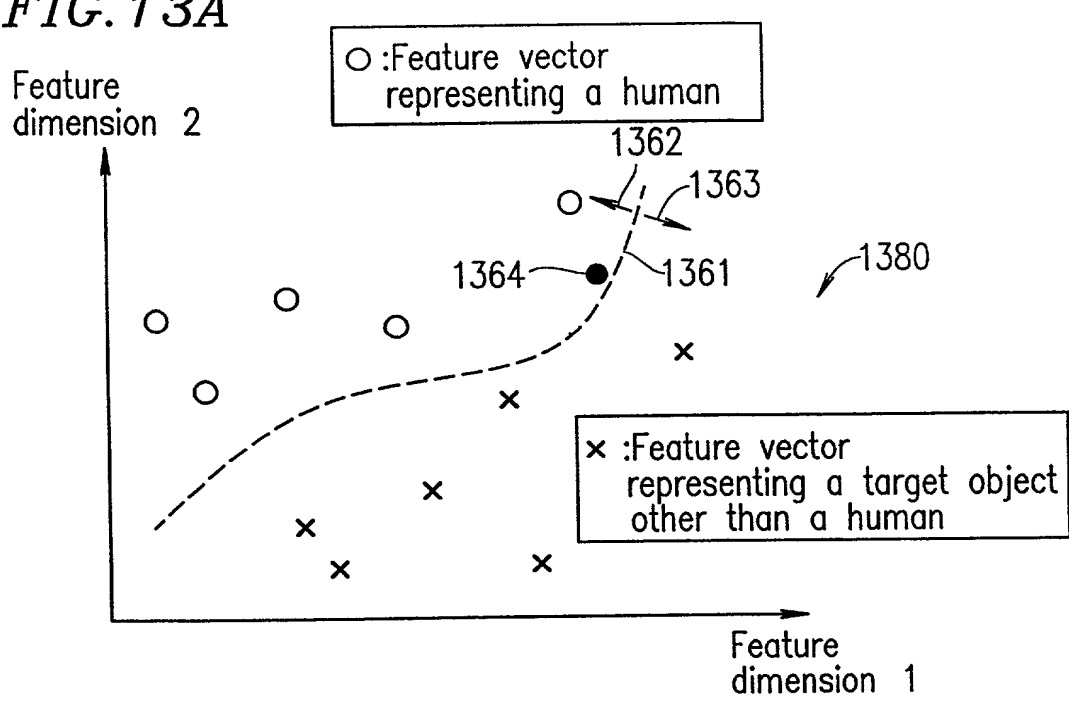


FIG. 13B

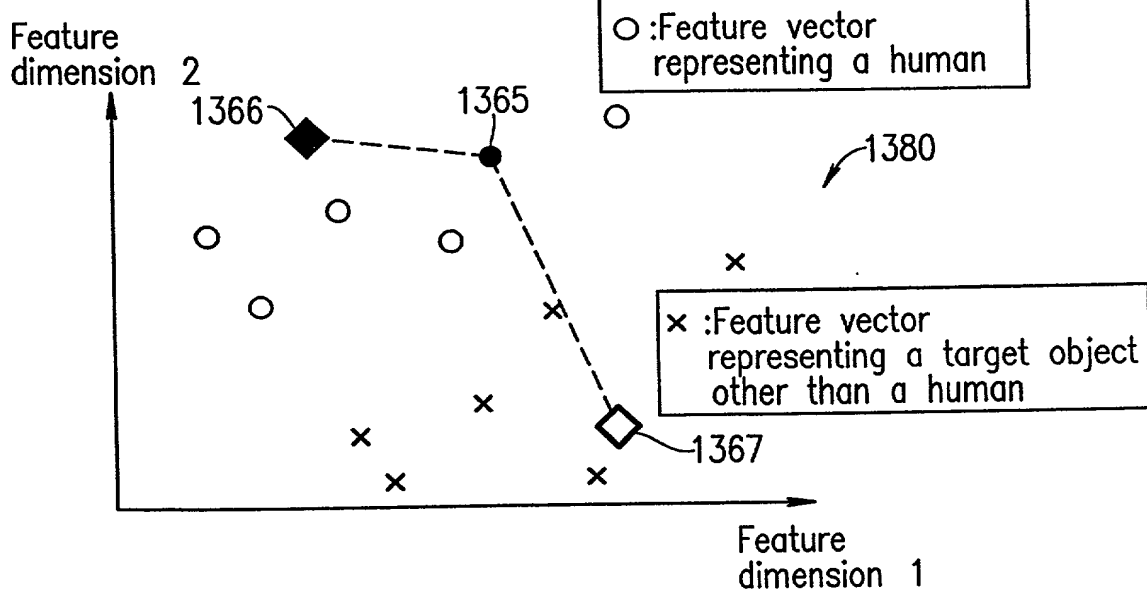


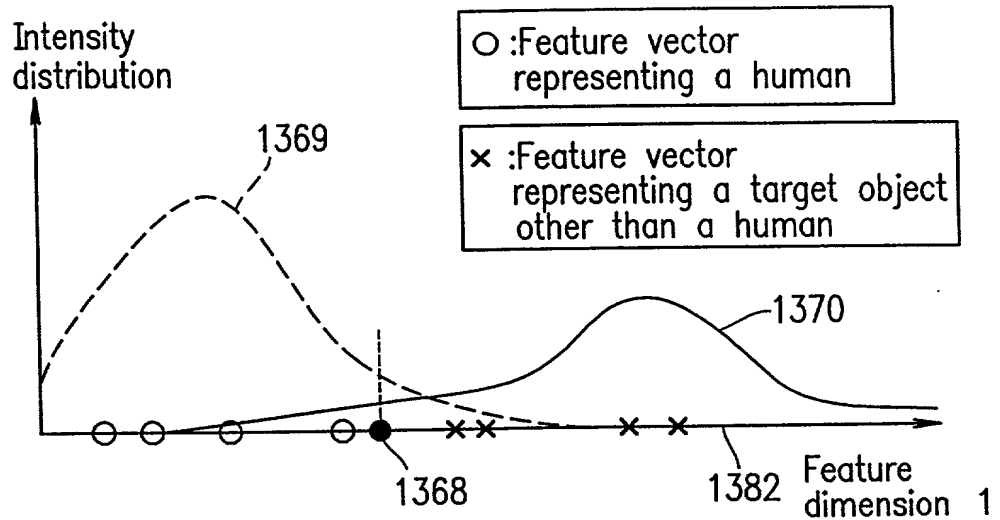
FIG. 13C

FIG. 14

Discriminant performance

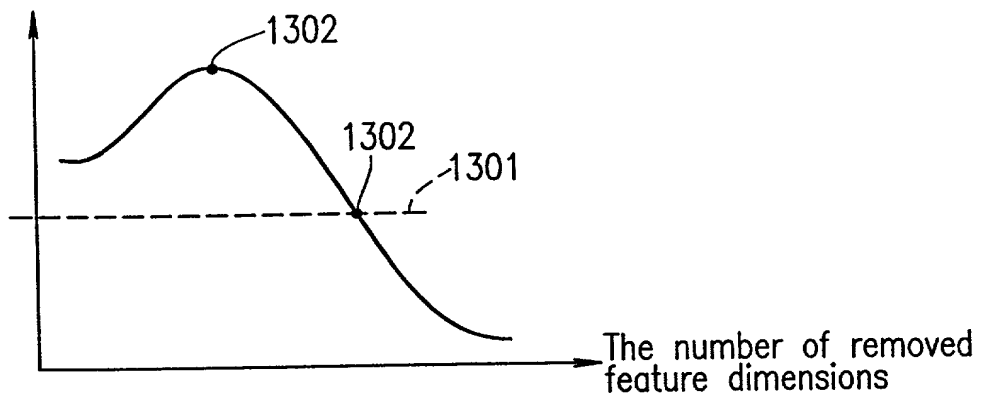


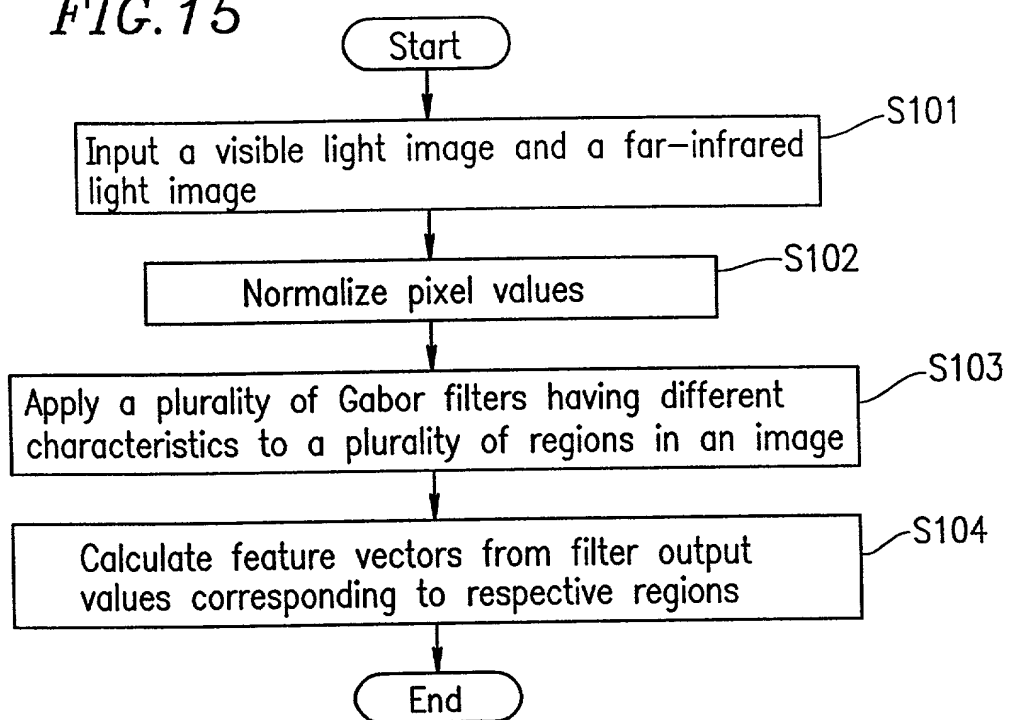
FIG. 15

FIG. 16

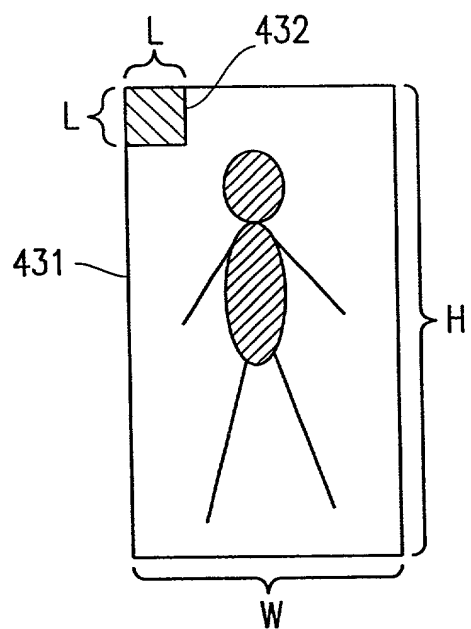


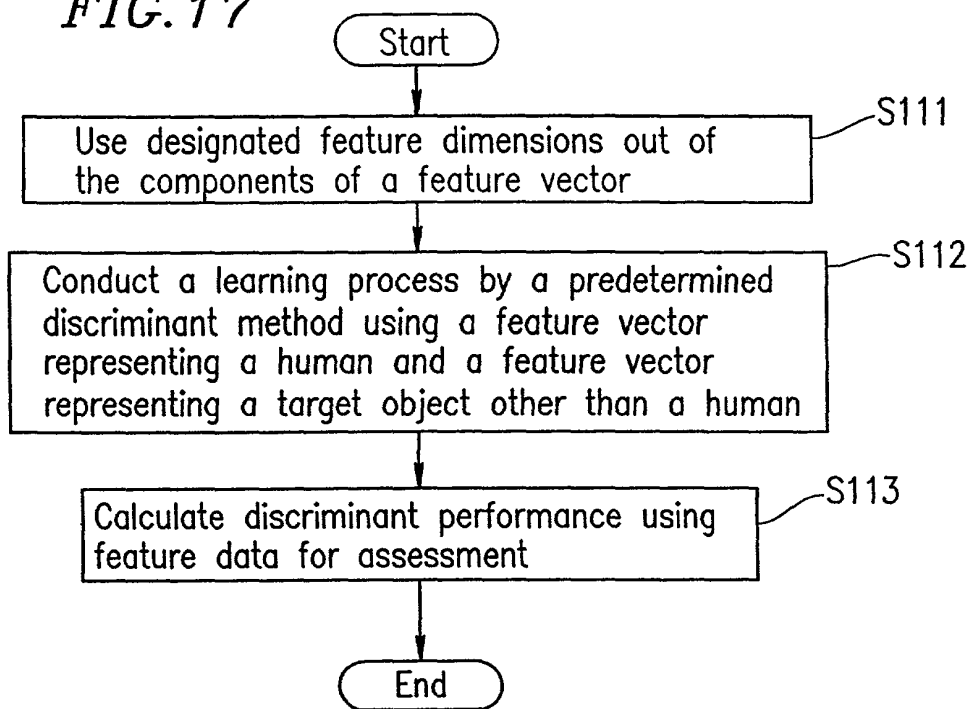
FIG. 17

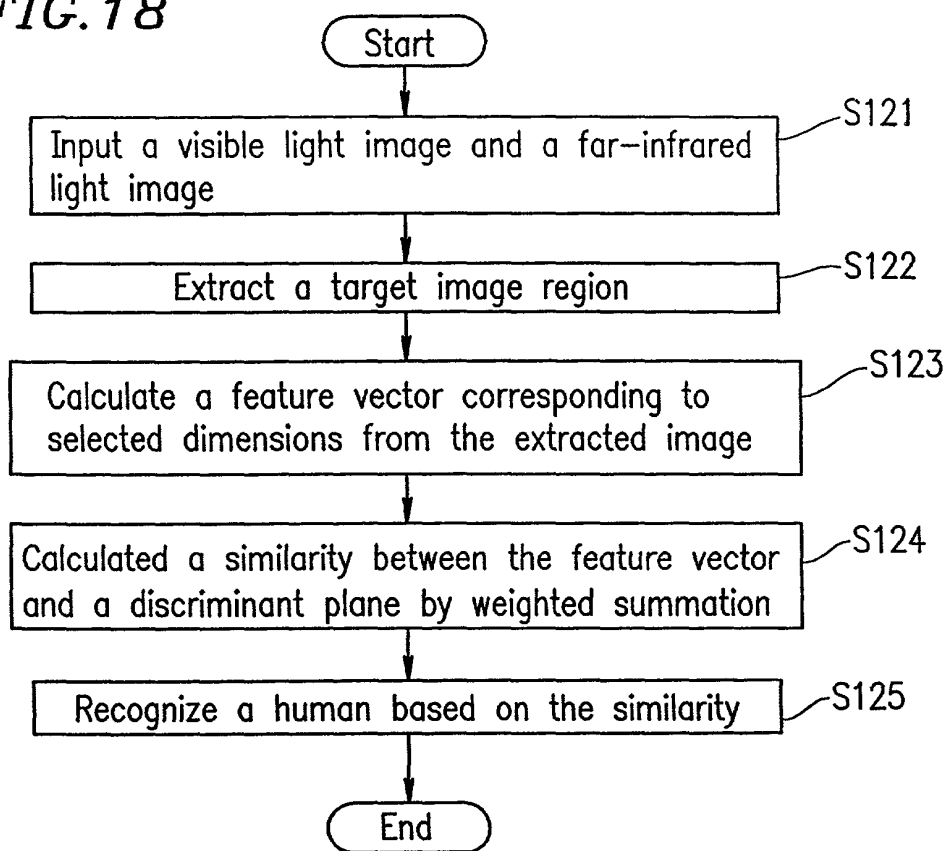
FIG. 18

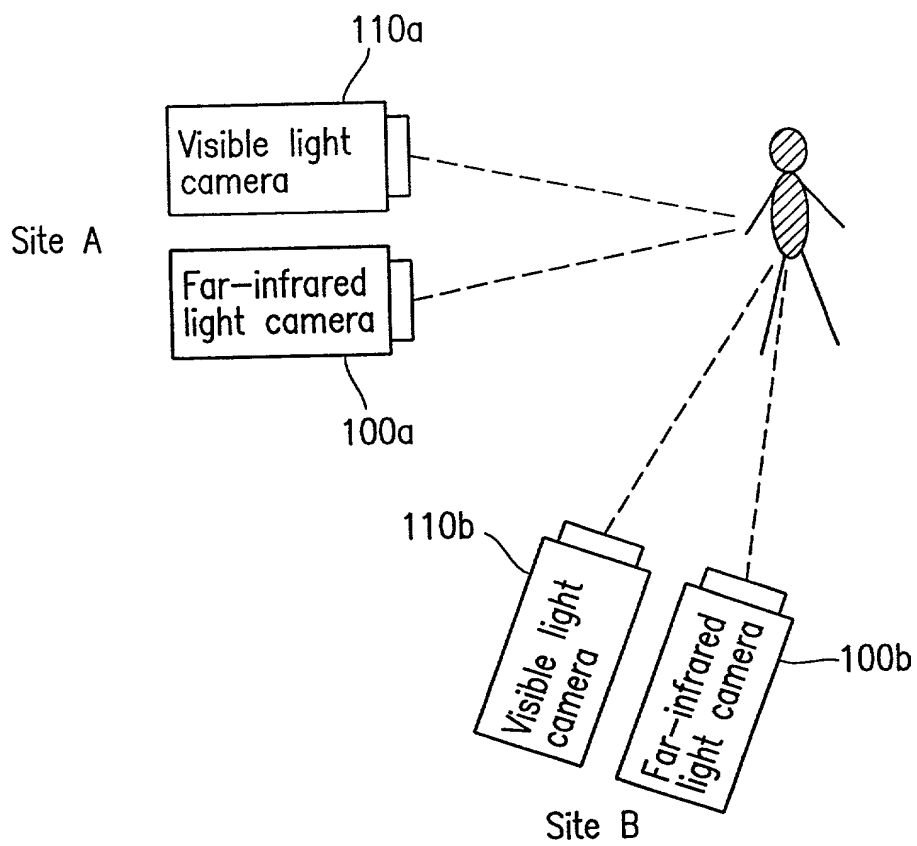
FIG. 19

FIG. 20